

เอกสารอ้างอิง

ภาษาไทย

- จิรทีปณ์ แสนรัก. 2547. การย่อยสลายไพรีนและสารประกอบพอลิไซคลิกอะโรมาติกไฮโดรคาร์บอนชนิดอื่นโดยกลุ่มแบคทีเรียที่แยกได้จากใบพืชตระกูลถั่ว. วิทยานิพนธ์ปริญญาโทบริหารบัณฑิต ภาควิชาจุลชีววิทยา คณะวิทยาศาสตร์ จุฬาลงกรณ์มหาวิทยาลัย.
- ดุสิต ขาวเหลือง. วิกฤตสิ่งแวดล้อม : ผลพวงจากความทันสมัยแต่ไม่พัฒนา. วารสารศึกษาศาสตร์ 2548: 2-4.
- วรรษยา สุนทรสารทูล. 2542. ความสัมพันธ์ระหว่างชนิดนกพันธุ์พืช และการจัดการสวนสาธารณะเขตกรุงเทพมหานคร. วิทยานิพนธ์ปริญญาโทบริหารบัณฑิต สาขาวิชาวิทยาศาสตร์สภาวะแวดล้อม จุฬาลงกรณ์มหาวิทยาลัย.
- ศรัณยา คุ่มวงษา. 2543. การย่อยสลายสาร PAHs ในดิน : แหล่งดินที่สามารถย่อยสลายสาร Acenaphthylene, Acenaphthrene, Anthracene, Dibenzofuran, Fluoranthrene, Phenanthrene และ Pyrene ได้. โครงการการเรียนการสอนเพื่อเสริมประสบการณ์ ภาควิชาจุลชีววิทยา คณะวิทยาศาสตร์ จุฬาลงกรณ์มหาวิทยาลัย.

ภาษาอังกฤษ

- Akhtar, N., Iqbal, J., and Iqbal, M. 2004. Removal and recovery of nickel(II) from aqueous solution by loofa sponge immobilized biomass of *Chlorella sorokiniana*: characterization studies. Journal of Hazardous Materials 108: 85-94.
- Alexander, M. Comatabolism. In , Biodegradation and Bioremediation, pp.177-195. USA: Academic press, 1994.
- ATSDR (Agency for Toxic Substances and Disease Registry). 1990. Toxicological profile for polycyclic aromatic hydrocarbons. acenaphthene, a., anthracene, benzo(a)anthracene, benzo(a)pyrene, benzo(b)fluoranthene, benzo(g,i,h)perylene, benzo(k)fluoranthene, chrysene, dibenzo(a,h)anthracene, fluoranthene, fluorene, indeno(1,2,3-c,d)pyrene, phenanthrene, pyrene: Clement International Corporation, under Contract NO. 205-88-0608. ATSDR/TP-90-20.
- ATSDR (Agency for Toxic Substances and Disease Registry). Health effects. In Agency for Toxic Substances and Disease Registry, Toxicological profile for polycyclic aromatic hydrocarbons , 11-206. Atlanta: GA, 1995.

- Benyahia, F., and Polomarkaki, R. 2005. Mass transfer and kinetic studies under no cell growth conditions in nitrification using alginate gel immobilized *Nitrosomonas*. Process Biochemistry 40: 1251-1262.
- Blandino, A., Macias, M., and Cantero, D. 1999. Formation of calcium alginate gel capsules: Influence of sodium alginate and CaCl₂ concentration on gelation kinetics. Journal of Bioscience and Bioengineering 88(6): 686-689.
- Boogaard, P. J. 2008. Urinary biomarkers in the risk assessment of PAHs. Occupational and Environmental Medicine 65(4): 221-222.
- Boonyatumanond, R., Wattayakorn, G., Togo, A., and Takada, H. 2006. Distribution and origins of polycyclic aromatic hydrocarbons (PAHs) in riverine, estuarine, and marine sediments in Thailand. Marine Pollution Bulletin 52: 942-956.
- Cassidy, M. B., Lee, H., and Trevors, J.T. 1996. Environmental applications of immobilized microbial cells: a review. Journal of Industrial Microbiology 16:79-101.
- Cerniglia, C. E. 1992. Biodegradation of polycyclic aromatic hydrocarbons. Biodegradation 3: 351-368.
- Cheetham, P. S. J., Blunt, K. W., and Bucke, C. 1979. Physical studies on cell immobilization using calcium alginate gels. Biotechnology and Bioengineering 21: 2155-2168.
- Chen, K.-C., and Huang, C.-T. 1988. Effects of the growth of *Trichosporon cutaneum* in calcium alginate gel beads upon bead structure and oxygen transfer characteristics. Enzyme Microbiology and Technology 10: 284-292.
- Chen, Y-M., Lin, T-F., Huang, C., Lin, J-C., and Hsieh, F-M. 2007. Degradation of phenol and TCE using suspended and chitosan-bead immobilized *Pseudomonas putida*. Journal of Hazardous Materials 148(3): 660-670.
- Colowick, S. P., and Kaplan, N.O. 1987. Immobilized enzymes and cells Part B. Methods in Enzymology 135: 173-472.
- Desouky, A.E.H., Beshay, U., Abdelhamid, A.O., Moawad, H., and Zaki, S. 2003. Effects of mixed nitrogen sources on biodegradation of phenol by immobilized *Acinetobacter* sp. strain W-17. African Journal of Biotechnology 2(1): 8-12.

- Dua, M., Singh, A., Sethunathan, N., and Johri, A. K. 2002. Biotechnology and bioremediation: Successes and limitations. Applied Microbiology and Biotechnology 59: 143-152.
- Dubinini, M.M. In: P.L. Walker, Editor, *Chemistry and Physics of Carbon* Vol. 2, Marcel Dekker, New York (1966), pp. 51-120.
- Gibson, D. T., and Subramanian, V. Microbial degradation of aromatic hydrocarbons. In Gibson, D. T. (Ed.), Microbial Degradation of Organic Compounds. pp. 181-252. New York: Marcel Dekker. 1984.
- Gundel, J., Mannschreck, C., Buttner, K. Ewers, U., and Angerer, J. 1996. Urinary levels of 1-hydroxypyrene, 1-, 2-, 3-, and 4-hydroxyphenanthrene in females living in an industrial area of Germany. Archives of Environmental Contamination and Toxicology 31(4): 585-590.
- Ha, J., Engler, C. R., and Wild, J. R. 2009. Biodegradation of coumaphos, chlorferon, and diethylthiophosphate using bacteria immobilized in Ca-alginate gel beads. Bioresource Technology 100(3): 1138-1142.
- Habe, H., and Omori, T. 2003. Genetics of polycyclic aromatic hydrocarbon metabolism in diverse aerobic bacteria. Bioscience Biotechnology and Biochemistry 67(2): 225-243.
- Hati, S. S. D., G. A. Egwu, G. O., and Ogugbuaja, V. O. 2009. Polycyclic aromatic hydrocarbons (PAHs) contamination of synthetic industrial essential oils utilized in Northern Nigeria. African Journal of Pure and Applied Chemistry 3(5): 86-91.
- Idris, A., and Suzana, W. 2006. Effect of sodium alginate concentration, bead diameter, initial pH and temperature on lactic acid production from pineapple waste using immobilized *Lactobacillus delbrueckii*. Process Biochemistry 41:1117-1123.
- Iwabuchi, T., Inomatayamauchi, Y., Katsuta, A., and Harayama, S. 1998. Isolation and characterisation of marine Norcardioides capable of growing and degrading phenanthrene at 42°C. Journal of Marine Biotechnology 6: 86-90.
- Johnsen, A. R., Wick, L.Y., and Harms, H. 2005. Principles of microbial PAH-degradation in soil. Environmental Pollution 133: 71-84.

- Kang, H., Hwang, S.Y., Kim, Y.M., Kim, E., Kim, Y.S., and Kim, S.K. 2003. Degradation of phenanthrene and naphthalene by a *Burkholderia* species strain. Canadian Journal Microbioogy 49: 139-144.
- Kerrar, A. D., Gais, S., Ouallouche, K., Khodja, A. N., Mahlous, M., and Hacene, H. 2007. Immobilization of *Rhodococcus erythropolis* B4 on radiation crosslinked poly (vinylpyrrolidone) hydrogel: Application to the degradation of polycyclic aromatic hydrocarbons. Nuclear Instruments and Methods in Physics Research 265: 370-374.
- Kim, S. J., Kweon, O., Jones, R. C., Freeman, J. P., Edmondson, R. D., and Cerniglia, C. E. 2007. Complete and integrated pyrene degradation pathway in *Mycobacterium vanbaalenii* PYR-1 based on systems biology. Journal Bacteriology 189(2): 464-472.
- Kim, T.J., Lee, E.Y., Kim, Y.J., Cho, K-S., and Ryu, H.W. 2004. Degradation of polyaromatic hydrocarbons by *Burkholderia cepacia* 2A-12. Journal of Microbiology and Biotechnology 19(4): 411-417.
- Kim, Y-H., Freeman, J.P., Moody, J.D., Engesser, K-H., and Cerniglia, C.E. 2005. Effects of pH on the degradation of phenanthrene and pyrene by *Mycobacterium vanbaalenii* PYR-1. Applied Microbiology and Biotechnology 67(2): 275-285.
- Konsoula, Z., and Liakopoulou-Kyriakides, M. 2006. Thermostable alpha-amylase production by *Bacillus subtilis* entrapped in calcium alginate gel capsules. Enzyme and Microbial Technology 39: 690-696.
- Lal, B., and Khanna, S. 1996. Degradation of crude oil by *Acinetobacter calcoaceticus* and *Alcaligenes odorans*. Journal of Applied Bacteriology 81: 355-362.
- Lan, W. U., Gang, G.E., and Jinbao, W.A.N. 2009. Biodegradation of oil wastewater by free and immobilized *Yarrowia lipolytica* W29. Journal of Environmental Sciences 21:237-242.
- Lee, K-Y., and Heo, T-R. 2000. Survival of *Bifidobacterium longum* immobilized in calcium alginate beads in simulated gastric juices and bile salt solution. Applied and Environmental Microbiology 66: 869-873.

- Lehto, K.M., Puhakka, J.A., and Lemmeyinen, H. 2003. Photodegradation products of polycyclic aromatic hydrocarbons in water and their amenability to biodegradation. Polycyclic Aromatic Compound 23: 401-416.
- Leitao, A. L. 2009. Potential of *Penicillium* species in the bioremediation field. International Journal Environmental Research and Public Health 6:1472-1484.
- Liguori, L., Heggstad, K., Hove, H. T., and Julshamn, K. 2006. An automated extraction approach for isolation of 24 polyaromatic hydrocarbons (PAHs) from various marine matrixes. Analytica Chimica Acta 573-574: 181-188.
- Luepromchai, E., Lertthamrongsak, W., Pinphanichakarn, P., Thaniyavarn, S., Pattaragulwanit, K., and Juntongjin, K. 2007. Biodegradation of PAHs in petroleum-contaminated soil using tamarind leaves as microbial inoculums. Songklanakarin Journal Science Technology 29(2): 515-527.
- Mallick, S., and Dutta, T.K. 2008. Kinetics of phenanthrene degradation by *Staphylococcus* sp. strain PNY involving 2-hydroxy-1-naphthoic acid in a novel metabolic pathway. Process Biochemistry 43: 1004-1008.
- Mandal, S., Puniya, A.K., and Singh, K. 2005. Effect of alginate concentrations on survival of microencapsulated *Lactobacillus casei* NCDC-298. International Dairy Journal 16: 1190–1195.
- Maria, C.S. Bioremediation of organic contaminants. In , Microbiological examination of water and wastewater. pp. 79-84. CRV Florida, USA: Press LLC. 1999.
- Meador, J. P., Stein, J.E., Reichert, W.L., and Varanasi, U. 1995. Bioaccumulation of polycyclic aromatic hydrocarbons by marine organisms. Reviews of Environmental Contamination and Toxicology 143: 79-165.
- Miller, C. D., Hall, K., Liang, Y.N., Nieman, K., Sorensen, D., Issa, B., Anderson, A.J., and Sims, R.C. 2004. Isolation and characterization of polycyclic aromatic hydrocarbon-degrading *mycobacterium* isolates from soil. Microbial Ecology 48: 230-238.
- Monteiro, P. P. R., Reis-Henriques, M.A., and Coimbra, J. 2000. Plasma steroid levels in female flounder (*Platichthys flesus*) after chronic dietary exposure to single

ต้นฉบับ หน้าขาดหาย

- Peretz, S., and Cinteza, O. 2008. Removal of some nitrophenol contaminants using alginate gel beads. Colloids and Surfaces A: Physicochemical and Engineering Aspects 319: 165-172.
- Pizzul, L., Castillo, M.P., and Stenstrom, J. 2007. Effect of rapeseed oil on the degradation of polycyclic aromatic hydrocarbons in soil by *Rhodococcus wratislaviensis*. International Biodeterioration & Biodegradation 59(2): 111-118.
- Prieto, M.B., Hidalgo, A., Serra, J.L., and Llama, M.J. 2002. Degradation of phenol by *Rhodococcus erythropolis* UPV-1 immobilized on Biolite in a packed-bed reactor. Journal of Biotechnology 97(1): 1-11.
- Rahman, R. N. Z. A., Ghazali, F. M., Salleh, A. B., and Basri, M. 2006. Biodegradation of hydrocarbon contamination by immobilized bacterial cells. The Journal of Microbiology 44: 354-359.
- Ravelet, C., Krivobok, S., Sage, L., and Steiman, R. 2000. Biodegradation of pyrene by sediment fungi. Chemosphere 40: 557-563.
- Rehm, B. H. A. (ed.). Alginate: Biology and Applications. DOI: 10.1007/978-3-540-92679-5. New York: Springer-Verlag Berlin Heidelberg, 2009.
- Resource Conservation and Recovery Act (RCRA). *Hazardous waste listing* [online]. 2008. Available from: <http://www.epa.gov/osw/hazard/wastetypes/pdfs/listing-ref.pdf> [January 6, 2010].
- Robles-Gonzalez, I. V. F., F., and Poggi-Varaldo, H.M. 2008. A review on slurry bioreactors for bioremediation of soils and sediments. Microbial Cell Factories review: 1-16.
- Romero, M.C., Salvioli, M.L., Cazau, M.C., and Arambarri, A. M. 2002. Pyrene degradation by yeasts and filamentous fungi. Environmental Pollution 117(1): 159-163.
- Salem, S.R., and Al-Barakati, F.A. 2005. Optimization of operative different conditions affecting phenol degradation by free and entrapped *Acinetobacter johnsonii* cells. Pakistan Journal of Biological Sciences 8(3): 361-368.

- Segura, A., Duque, E., Mosqueda, G., Ramos, J. L., and Junker, F. 1999. Multiple responses of gram-negative bacteria to organic solvents. Environmental Microbiology Minireview 1(3): 191–198.
- Seo, J. S., Keum, Y. S., and Li, Q. X. 2009. Bacterial degradation of aromatic compounds. International Journal of Environmental Research and Public Health 6(1): 278-309.
- Seoud, M. A., and Maachi, R. 2003. Biodegradation of naphthalene by free and alginate entrapped *Pseudomonas* sp. Z. Naturforsch 58: 726-731.
- Sikkema, J., de Bont, J.A., and Poolman, B. 1995. Mechanisms of membrane toxicity of hydrocarbons. Microbiological Reviews 59(2): 201–222.
- Stingley, R. L. K., A. A., and Cerniglia C. E. 2004. Molecular characterization of a phenanthrene degradation pathway in *Mycobacterium vanbaalenii* PYR-1 Biochemical and Biophysical Research Communications 322: 133-146.
- Supaka, N., Pinphanichakarn, P., Pattaragulwanit, K., Thaniyavarn, S., Omori, T., and Juntongjin, K. 2001. Isolation and Characterization of a phenanthrene-degrading *Sphingomonas* sp. strain P2 and its ability to degrade fluoranthene and pyrene via cometabolism. Science Asia 27: 21-28.
- Tallur, P. N., Megadi, V. B., and Ninnekar, H. Z. 2009. Biodegradation of p-cresol by immobilized cells of *Bacillus* sp. strain PHN 1. Biodegradation 20(1): 79-83.
- Tanaka, H., Irie, S., and Ochi, H. 1989. A novel immobilization method for prevention of cell leakage from the gel matrix. Journal of Fermentation and Bioengineering 68(3): 216-219.
- Thorn, K. A., and Aiken, G. R. . 1998. Biodegradation of crude oil into nonvolatile organic acids in a contaminated aquifer near Bemidji, Minnesota. Organic geochemistry 29(4): 909-931.
- Tian, L., Ma, P., and Zhong, J.J. 2003. Kinetics and key enzyme activities of phenanthrene degradation by *Pseudomonas Mendocina*. Process Biochem 37: 1431-1437.

- Trejo, M., and Quintero, R. 2000. Bioremediation of contaminated soil. In J. O. Eugenia, S. Gloria, and H. Elizabeth, (Eds.), Environmental Biotechnology Cleaner Bioprocess. pp. 179-189. London: Tayler and Francis Limited.
- Trzesicka-Mlynarz, D. T., and Ward, O. P. 1996. Degradation of fluoranthrene in a soil matrix by indigenous and introduced bacteria. Biotechnology Letters 18:181-186.
- Tsen, J. H., Lin, Y. P., and King, V. A. 2003. Banana puree fermentation by *Lactobacillus acidophilus* immobilized in Ca-alginate. The Journal of General and Applied Microbiology 49(6): 357-361.
- Turnbull, G., Ousley, M., Walker, A., Shaw, E., and Morgan, J.A.W. 2001. Degradation of substituted phenylurea herbicides by *Arthrobacter globiformis* strain D47 and characterization of a plasmid-associated hydrolase gene, *puhA*. Applied and Environmental Microbiology 67(5): 2270-2275.
- U.S. EPA. 1987. Health and environmental effects profile for phenanthrene: The environmental criteria and assessment office, office of health and environmental assessment, U.S. Environmental Protection Agency, Cincinnati, OH, for the office of solid waste and emergency response ECAO-CIN-P226.
- Van Veen, J. A., Van Overbeek, L.S., and Van Elsas, J.D. 1997. Fate and activity of microorganisms introduced into soil. Microbiology and Molecular Biology Reviews 61: 121-135.
- Verschueren, K. Handbook of environmental data on organic chemicals. New York: Thomson publishing, pp. 596-599, 1997.
- Vidali, M. 2001. Bioremediation. An overview. Pure and Applied Chemistry 73(7): 1163-1172.
- Wand, G. S., Mangold, D., Ali, M., and Giggey, P. 1999. Adrenocortical responses and family history of alcoholism. Alcoholism Clinical and Experimental Research 23(7): 1185-1190.
- Wang, B., Lai, Q., Cui, Z., Tan, T., and Shao, Z. 2008. A pyrene-degrading consortium from deep-sea sediment of the West Pacific and its key member *Cycloclasticus* sp. P1. Environmental Microbiology Reports 10(8): 1948-1963.

- Wang, C., and Li, Y. 2007. Incorporation of granular activated carbon in an immobilized membrane bioreactor for the biodegradation of phenol by *Pseudomonas putida*. Biotechnology Letters 29(9): 1353-1356.
- Wang, J., Yang, H., Lu, H., Zhou, J., Wang, J., and Zheng, C. 2009. Aerobic biodegradation of nitrobenzene by a defined microbial consortium immobilized in polyurethane foam. Chemistry and Materials Science 25(5): 875-881.
- Wang, X., Gai, Z., Yu, B., Feng, J., Xu, C., Yuan, Y., Lin, Z., and Xu, P. 2007. Degradation of Carbazole by Microbial Cells Immobilized in Magnetic Gellan Gum Gel Beads. Applied and Environmental Microbiology 73: 6421-6428.
- Wilson, S. C., and Jones, K. C. 1993. Bioremediation of soil contaminated with polynuclear aromatic hydrocarbons (PAHs): a review. Environmental Pollution 81(3): 229-249.
- Yang, K., Wang, X., Zhu, L., and Xing, A.B. 2006. Competitive Sorption of pyrene, phenanthrene, and naphthalene on multiwalled carbon nanotubes. Environmental Science and Technology 40(18): 5804-5810.
- Zhang, W., and He, X. 2009. Encapsulation of living cells in small alginate microcapsules by electrostatic spraying: A parametric study. Journal of Biomechanical Engineering 131: 1-6.
- Zhao, H. P., Wu, Q.S., Wang, L., Zhao, X.T., and Gao, H.W. 2009. Degradation of phenanthrene by bacterial strain isolated from soil in oil refinery fields in Shanghai, China. Journal of Hazardous Materials 164: 863-869.
- Zhou, X., Liu, L., Chen, Y., Xu, S., and Chen, J. 2007. Efficient biodegradation of cyanide and ferrocyanide by Na-alginate beads immobilized with fungal cells of *Trichoderma koningii*. Canadian Journal of Microbiology 53(9): 1033-1037.
- Zinjarde, S.S., and Pant, A. 2000. Crude oil degradation by free and immobilized cells of *Yarrowia lipolytica* NCIM 3589. Journal of Environment Science Health 35(5): 755-763.

ภาคผนวก

ภาคผนวก ก

สูตรและวิธีการเตรียมอาหารเลี้ยงเชื้อ

1. อาหารเลี้ยงเชื้อ Carbon Free Mineral Salt Medium (CFMM)

ก. แอมโมเนียมไนเตรต (NH_4NO_3)	3.0	กรัม
ไดโซเดียมไฮโดรเจนฟอสเฟตเดคะไฮเดรต ($\text{Na}_2\text{HPO}_4 \cdot 12\text{H}_2\text{O}$)	5.5	กรัม
โปแทสเซียมไดไฮโดรเจนฟอสเฟต (KH_2PO_4)	0.8	กรัม
ข. แมกนีเซียมซัลเฟตเฮปตะไฮเดรต ($\text{MgSO}_4 \cdot 7\text{H}_2\text{O}$)	0.1	กรัม
เฟอร์ริกคลอไรด์เฮกซะไฮเดรต ($\text{FeCl}_3 \cdot 6\text{H}_2\text{O}$)	0.05	กรัม
แคลเซียมคลอไรด์ไดไฮเดรต ($\text{CaCl}_2 \cdot 2\text{H}_2\text{O}$)	0.05	กรัม

ซึ่งสารส่วน ก. ละลายในน้ำกลั่นปริมาตร 1,000 มล. ปรับค่าความเป็นกรด-ด่าง ด้วยสารละลายโซเดียมไฮดรอกไซด์ความเข้มข้น 1 นอร์มัล ให้เป็น 7.5 จากนั้นนึ่งฆ่าเชื้อด้วยความดันไอน้ำ 15 ปอนด์ต่อตารางนิ้ว อุณหภูมิ 121 °ซ เป็นเวลา 15 นาที เติมสารละลายในส่วน ข. ที่ทำการเตรียมแยกแต่ละชนิดและทำให้ปราศจากเชื้อโดยการกรองผ่านชุดกรองสำเร็จรูปเซลลูโลสอะซีเตท ขนาดรู 0.45 ไมโครเมตร ลงในอาหารที่ทำการนึ่งฆ่าเชื้อแล้ว

2. อาหารเลี้ยงเชื้อเหลว Luria-Bertani (LB broth)

ทริปโตน (tryptone)	10.0	กรัม
สารสกัดจากยีสต์ (yeast extract)	5.0	กรัม
โซเดียมคลอไรด์ (NaCl)	5.0	กรัม

ละลายส่วนผสมทั้งหมดในน้ำกลั่นปริมาตร 1000 มล. ปรับค่าความเป็นกรด-ด่างด้วยสารละลายโซเดียมไฮดรอกไซด์ความเข้มข้น 1 นอร์มัล ให้เป็น 7.0 ปรับปริมาตรให้เป็น 1,000 มล. นำไปนึ่งฆ่าเชื้อด้วยความดันไอน้ำ 15 ปอนด์ต่อตารางนิ้ว อุณหภูมิ 121 °ซ เป็นเวลา 15 นาที

3. อาหารเลี้ยงเชื้อแข็ง Luria-Bertani (LB agar)

เตรียมอาหารด้วยวิธีเช่นเดียวกับการเตรียมอาหารเลี้ยงเชื้อเหลว LB แต่ละลายผงวุ้น 15 กรัมต่ออาหารเลี้ยงเชื้อ 1,000 มล. ลงไปในอาหารก่อนนำไปนึ่งฆ่าเชื้อด้วยความดันไอ 15 ปอนด์ต่อตารางนิ้ว อุณหภูมิ 121 °ซ เป็นเวลา 15 นาที

ภาคผนวก ข

สารเคมีที่ใช้ในการทดลอง

1. สารละลายพีแวนทรินและไพรีนในไดเมทิลซัลฟอกไซด์

ซังพีแวนทรินและไพรีนอย่างละ 0.05 กรัม ละลายในไดเมทิลซัลฟอกไซด์ปริมาตร 10 มล. ผสมด้วยเครื่องปั่นผสมจนผลึก PAHs ละลายหมด ทำให้ปราศจากเชื้อโดยกรองด้วยชุดกรองสำเร็จรูปชนิด PTFE ที่มีขนาดรูกว้าง 0.20 ไมโครเมตร เก็บรักษาในขวดสีชาหรือห่อให้มิดชิดเก็บที่อุณหภูมิ -20°C เติมนลงในอาหารเหลว CFMM ที่ผ่านการฆ่าเชื้อและเย็นลงที่อุณหภูมิห้องแล้ว

2. สารละลายไซโตเดียมไฮดรอกไซด์ความเข้มข้น 1 นอร์มัล

ซังไซโตเดียมไฮดรอกไซด์ 40 กรัม ละลายในน้ำกลั่น 900 มล. ในขวดวัดปริมาตรขนาด 1,000 มล. ปรับปริมาตรให้ครบ 1,000 มล. ด้วยน้ำกลั่น

3. สารละลายไซโตเดียมคลอไรด์ 0.85%

ซังไซโตเดียมคลอไรด์ 0.85 กรัม ละลายในน้ำกลั่น 100 มล. หนึ่งฆ่าเชื้อด้วยความดันไอน้ำ 15 ปอนด์ต่อตารางนิ้ว อุณหภูมิ 121°C เป็นเวลา 15 นาที

4. สารปฏิชีวนะนิสตาติน

ซังนิสตาติน 40 มก. ละลายในไดเมทิลซัลฟอกไซด์ปริมาตร 1 มล. ทำให้ปราศจากเชื้อโดยกรองด้วยชุดกรองสำเร็จรูปชนิด PTFE ที่มีขนาดรูกว้าง 0.20 ไมโครเมตร เก็บรักษาในขวดสีชาหรือห่อให้มิดชิดเก็บที่อุณหภูมิ -20°C การนำมาใช้จะให้มีความเข้มข้นสุดท้ายเท่ากับ 40 มก./ลิตร โดยเติม 1 ไมโครลิตรต่อ 1 มิลลิลิตร

5. 70% เอธานอล

ละลายเอธานอลสัมบูรณ์ ปริมาตร 700 มล. ในน้ำกลั่นปลอดประจุปริมาตร 300 มล.

6. กลีเซอรอล

นำกลีเซอรอลมานึ่งฆ่าเชื้อด้วยความดันไอ 15 ปอนด์ต่อตารางนิ้ว อุณหภูมิ 121 °ซ เป็นเวลา 15 นาที ตั้งทิ้งไว้ที่อุณหภูมิห้องเป็นเวลา 24 ชั่วโมง แล้วนึ่งฆ่าเชื้อซ้ำอีกรอบหนึ่ง

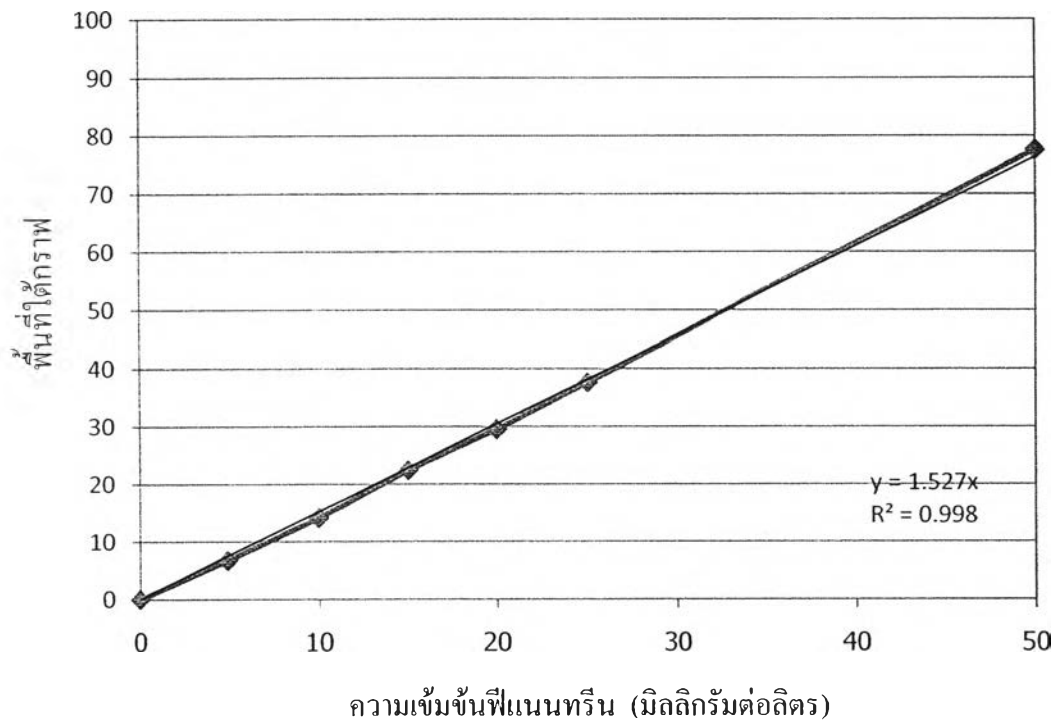
7. สารละลายโซเดียมซิติเรต

ซังโซเดียมซิติเรตไดไฮเดรต 1 กรัมละลายในน้ำกลั่น 100 มล. (ความเข้มข้น 1 % w/v) นึ่งฆ่าเชื้อด้วยความดันไอ 15 ปอนด์ต่อตารางนิ้ว อุณหภูมิ 121 °ซ เป็นเวลา 15 นาที

ภาคผนวก ค

กราฟมาตรฐาน

1. กราฟมาตรฐานของพีแนนทรีน



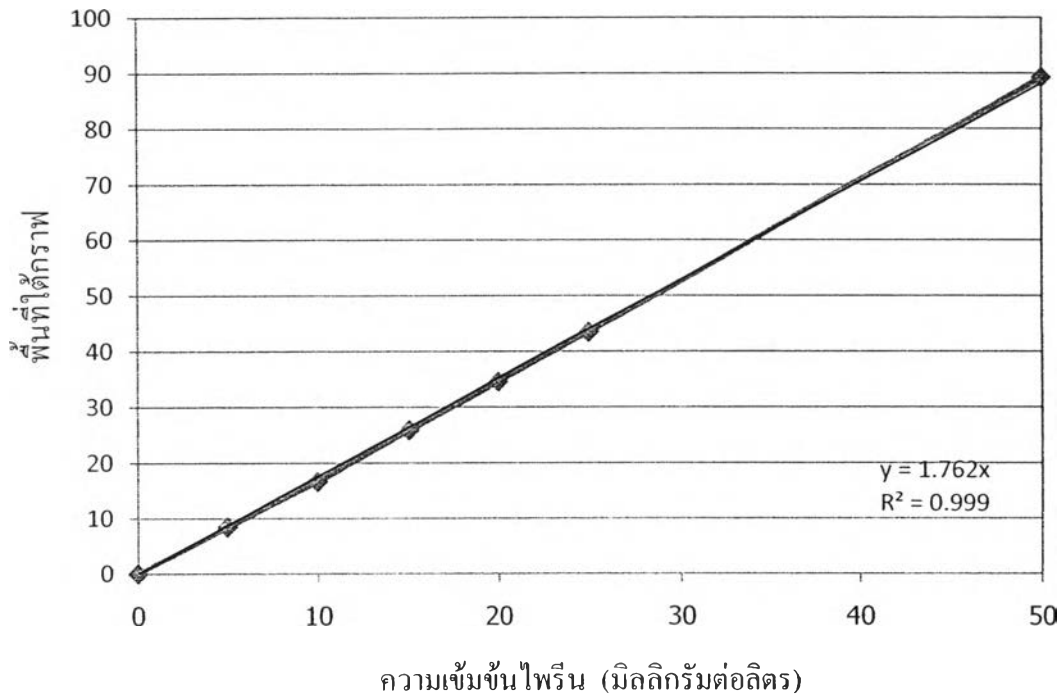
รูปที่ ค. 1 กราฟมาตรฐานระหว่างปริมาณพีแนนทรีนกับพื้นที่ใต้กราฟที่ได้จากการวิเคราะห์ด้วยเครื่องแก๊สโครมาโตกราฟี

ความเข้มข้นของพีแนนทรีนหาได้จากนำพื้นที่ใต้กราฟที่ได้จากการวิเคราะห์ด้วยเครื่องวิเคราะห์แก๊สโครมาโตกราฟี มาแทนค่าในสมการเส้นตรงดังต่อไปนี้

พื้นที่ใต้กราฟ = (ความชันของกราฟมาตรฐาน × ปริมาณพีแนนทรีน) + จุดตัดแกนวาย

โดยที่ ความชันของกราฟมาตรฐาน = 1.527
จุดตัดแกนวาย = 0.0

2. กราฟมาตรฐานของไพรีน

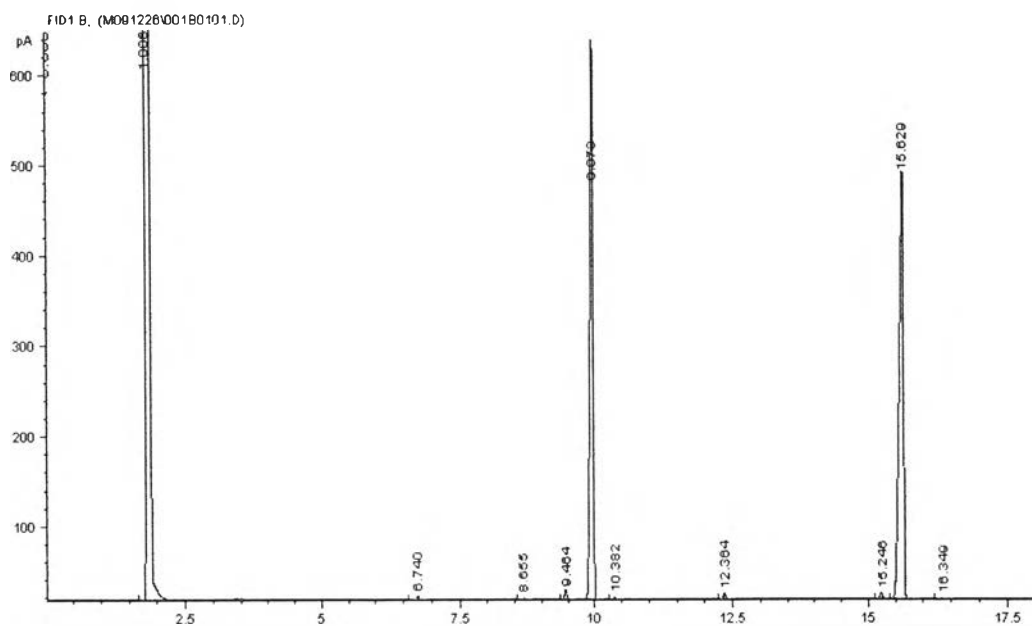


รูปที่ ค. 2 กราฟมาตรฐานระหว่างปริมาณไพรีนกับพื้นที่ใต้กราฟที่ได้จากการวิเคราะห์ด้วยเครื่องแก๊สโครมาโตกราฟี

ความเข้มข้นของไพรีนหาได้จากนำพื้นที่ใต้กราฟที่ได้จากการวิเคราะห์ด้วยเครื่องวิเคราะห์แก๊สโครมาโตกราฟีมาแทนค่าในสมการเส้นตรงดังต่อไปนี้

$$\begin{aligned} \text{พื้นที่ใต้กราฟ} &= (\text{ความชันของกราฟมาตรฐาน} \times \text{ปริมาณไพรีน}) + \text{จุดตัดแกนวาย} \\ \text{โดยที่} \quad \text{ความชันของกราฟมาตรฐาน} &= 1.762 \\ \text{จุดตัดแกนวาย} &= 0.0 \end{aligned}$$

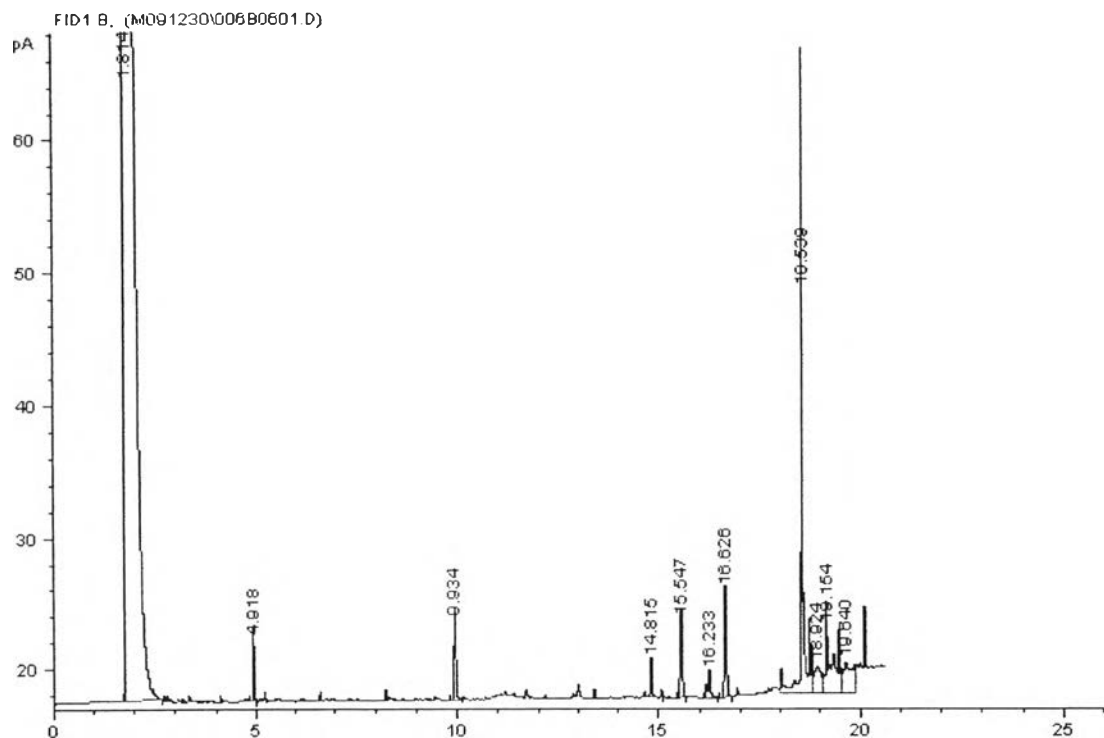
3. โครมาโตแกรมของพีแนทรีนและไพรีน



#	Time	Area	Height	Width	Symmetry
1	1.806	700482.7	299917.5	0.0389	0.983
2	6.74	9.7	3.2	0.0512	1.017
3	8.655	4.1	1.3	0.0611	1.061
4	9.464	31.8	8.5	0.0621	0.98
5	9.973	2286.3	458	0.0832	1.158
6	10.382	7.1	1.9	0.068	1.029
7	12.364	19	5.7	0.0627	1.024
8	15.246	22	5.7	0.069	0.968
9	15.629	2459.6	468.6	0.0852	1.379
10	16.349	4.6	8.4E-1	0.0952	1.051

รูปที่ ค. 3 โครมาโตแกรมพีแนทรีนและไพรีนที่ได้จากการวิเคราะห์ด้วยเครื่องแก๊สโครมาโตกราฟี (Retention time ของพีแนทรีนประมาณ 9.973 นาที และRetention time ของไพรีนประมาณ 15.629 นาที)

4. โครมาโตแกรมของตัวอย่างน้ำเสียห้องปฏิบัติการ



#	Time	Area	Height	Width	Symmetry
1	1.814	477019.2	123032.6	0.0612	0.77
2	4.918	11.1	4.6	0.0441	0.955
3	9.934	20.8	6	0.0645	0.903
4	14.815	9.6	2.7	0.0652	0.788
5	15.547	24.6	5.9	0.0651	0.917
6	16.233	11.2	1.9	0.1002	1.323
7	16.626	30.2	8.1	0.0675	0.979
8	18.539	153	30.4	0.0747	0.67
9	18.924	22.3	2	0.1648	0.662
10	19.154	65.6	4.9	0.1725	0.219
11	19.64	41.2	2.2	0.2383	0.338

รูปที่ ค. 4 โครมาโตแกรมของตัวอย่างน้ำเสียห้องปฏิบัติการที่ได้จากการวิเคราะห์ด้วยเครื่องแก๊สโครมาโตกราฟี (Retention time ของพีแนนทรินประมาณ 9.934 นาที และ Retention time ของไพรีนประมาณ 15.547 นาที)

ประวัติผู้เขียนวิทยานิพนธ์

นางสาวอภิรดี ประเวศจรรยา เกิดเมื่อวันที่ 1 ธันวาคม พ.ศ.2528 ที่จังหวัด กรุงเทพมหานคร สำเร็จการศึกษาปริญญาวิทยาศาสตรบัณฑิต สาขาจุลชีววิทยา ภาควิชาจุลชีววิทยา คณะวิทยาศาสตร์ จุฬาลงกรณ์มหาวิทยาลัย ในปีการศึกษา 2550 และเข้ารับการศึกษาคู่ต่อในระดับปริญญาโท สาขาจุลชีววิทยาทางอุตสาหกรรม ภาควิชาจุลชีววิทยา คณะวิทยาศาสตร์ จุฬาลงกรณ์มหาวิทยาลัย ในปีการศึกษา 2551

